

## 【参考資料】

# 2007年新潟県中越沖地震の 震源像と震源特性について

平成27年4月3日  
東京電力株式会社

# 目 次

---

1. 新潟県中越沖地震の震源像
2. F-B断層の震源特性
3. F-B断層の再来期間
4. まとめ

---

1. 新潟県中越沖地震の震源像

2. F—B断層の震源特性

3. F—B断層の再来期間

4. まとめ

# 柏崎刈羽原子力発電所周辺の海域活断層

## 凡例

### 東京電力(株)

- ▼ 逆断層
- ▼ 伏在逆断層
- ▲ 活背斜
- ▼ 活撓曲

「佐渡島北方海底地質図」(1995)

「佐渡島南方海底地質図」(1994)

「能登半島東方海底地質図」(2002)

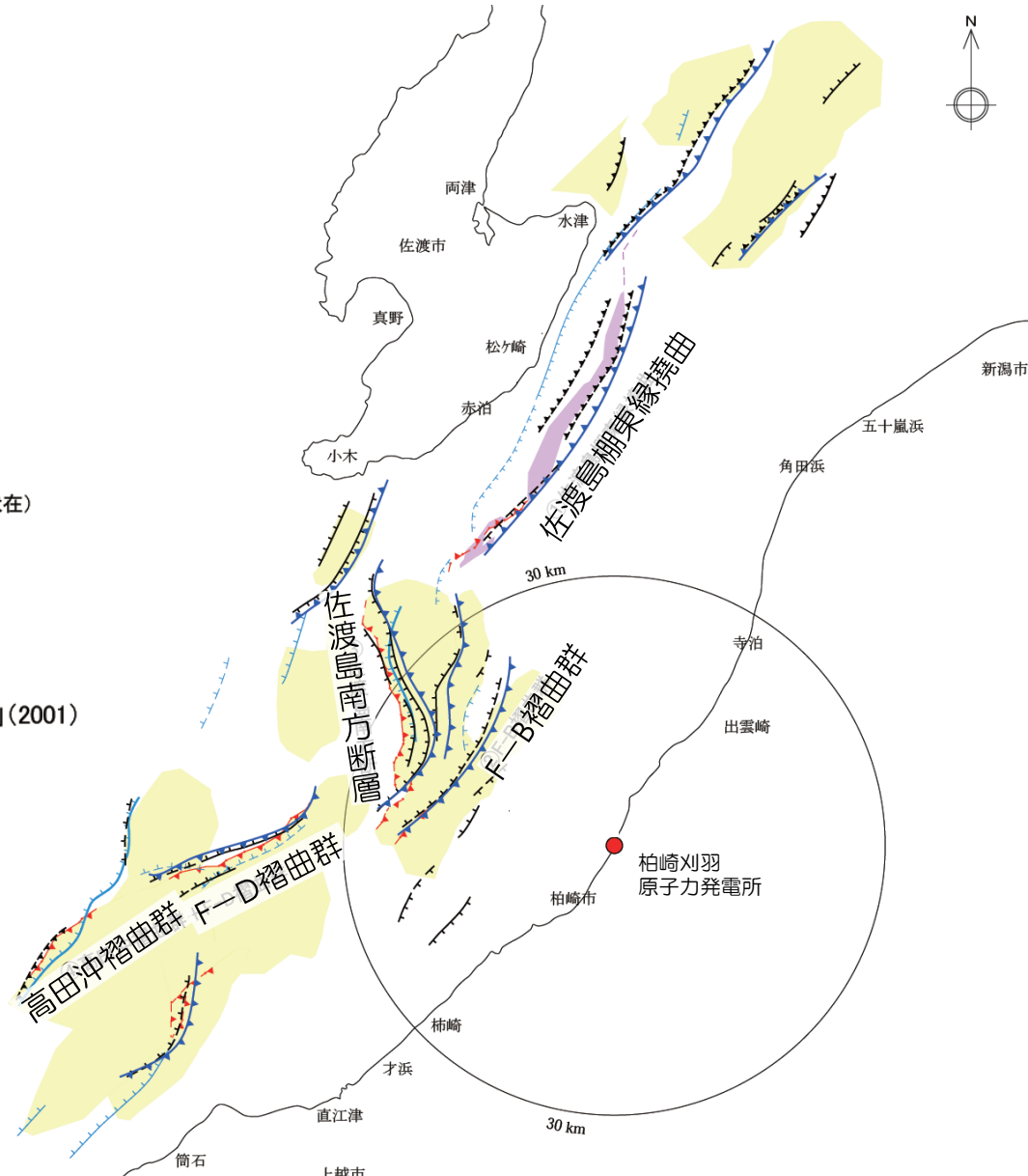
- 逆断層(破線は伏在)
- 正断層(破線は伏在)
- 未区分断層
- (ケバは落下側、破線は伏在)

新編 日本の活断層(1991)

- 活断層(比高200m以上)
- 活断層(比高200m以下)
- 推定断層(比高200m以上)
- 推定断層(比高200m以下)

「日本周辺海域の第四紀地質構造図」(2001)

- ▼ 逆断層



# 地震調査研究推進本部による新潟県中越沖地震の評価

## 平成20年1月11日の評価

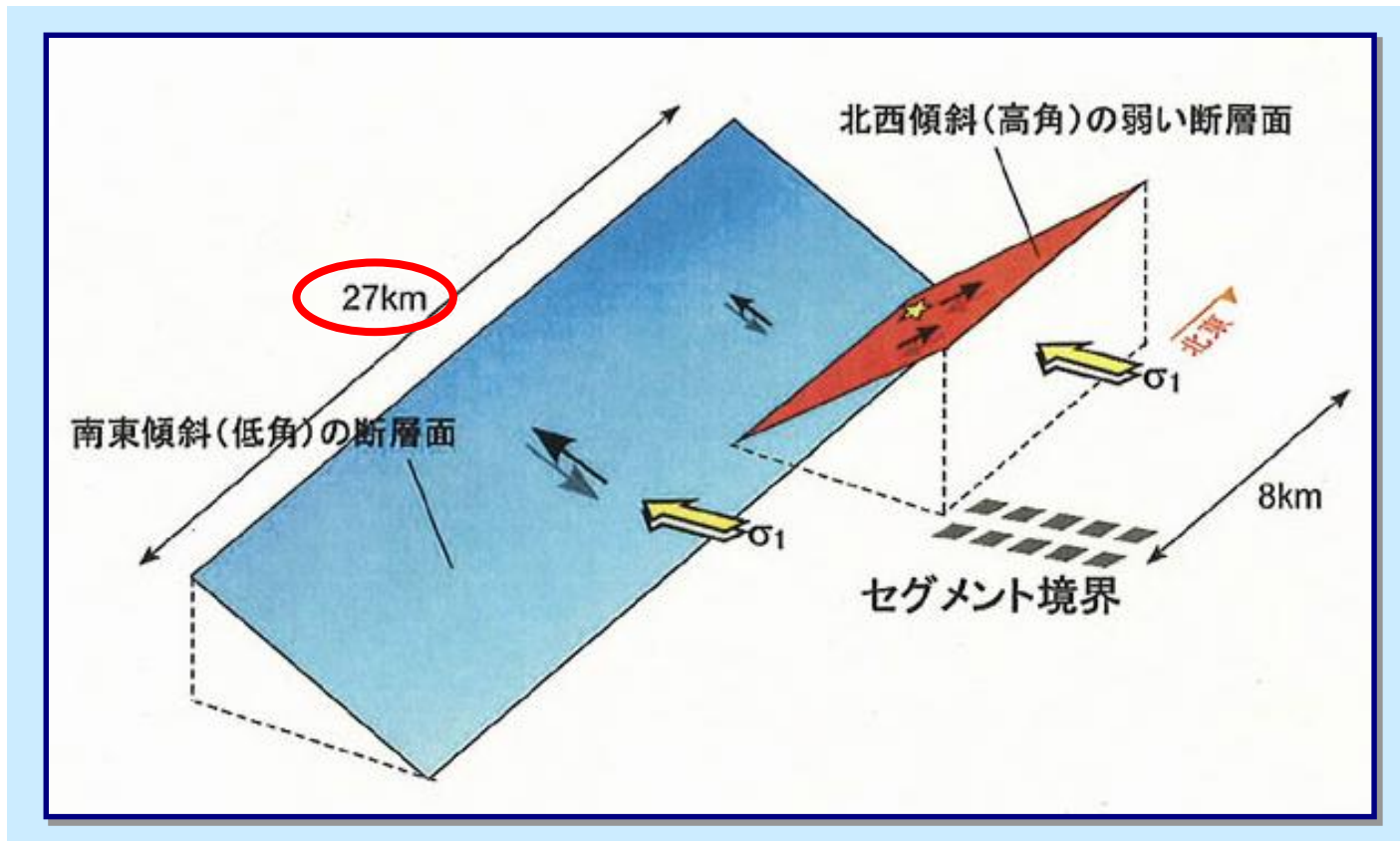
- 新潟県中越沖地震は、大局的には南東傾斜の逆断層運動により発生した。
- 余震分布から推定される南東傾斜の断層面の浅部延長は、既知の活断層に連続している可能性がある。
  - 臨時の海底及び陸上地震観測に基づき得られた詳細な震源分布によると、余震は、全体的な傾向としては、南東傾斜の断層面上で発生している。震源域北東部では、余震が北西傾斜の面上でも発生している。
  - 震源分布を参照した地殻変動解析結果でも、南東傾斜の断層に加え、震源域北東部に北西傾斜の断層を考慮することで、データをより良く説明できる。
  - 強震動波形データなどの解析から、大局的には南東傾斜面が震源断層面であると推定される。なお、この解析結果は、余震分布や地殻変動データ解析が示唆する震源域北東部の北西傾斜の断層の存在を否定しない。
  - 津波データ解析からだけでは、断層面が北西傾斜か南東傾斜かを決定するのは困難である。
  - 海域での構造探査によると、震源域北西側には、震源断層とほぼ同じ方向に延びる活断層や活褶曲構造が見られる。これらの活構造は、主に南東傾斜の逆断層運動によって形成されてきたと推定される。

# 新潟県中越沖地震の震源断層

マグニチュード (Mj) : 6.8

断層長さ : 27km

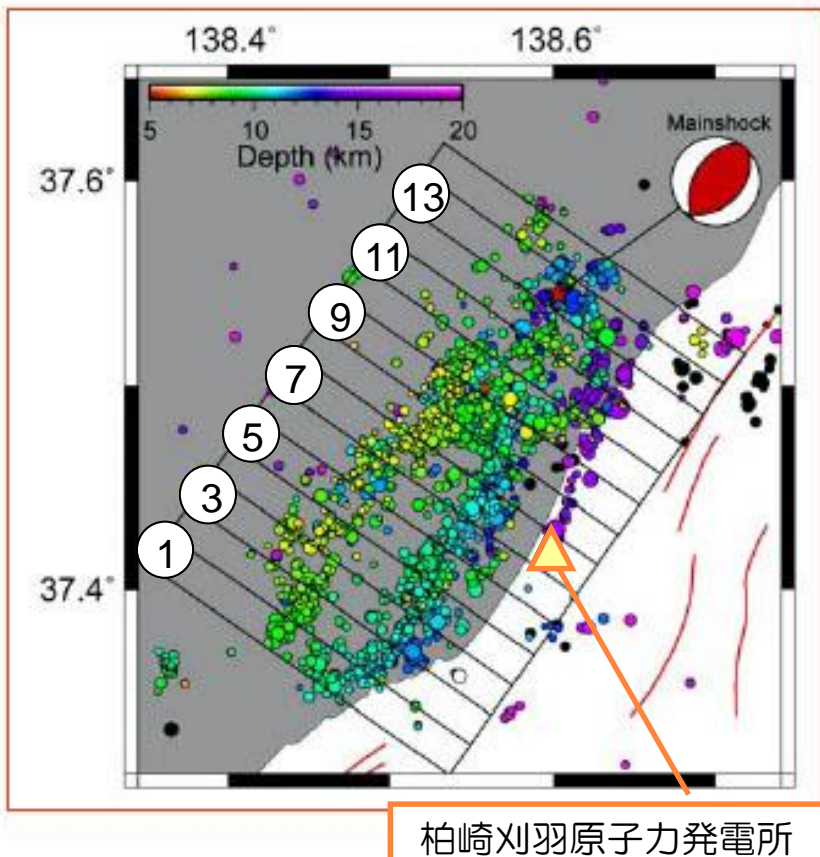
新潟県中越沖地震の震源断層（断層形状・位置関係を示す概念図）



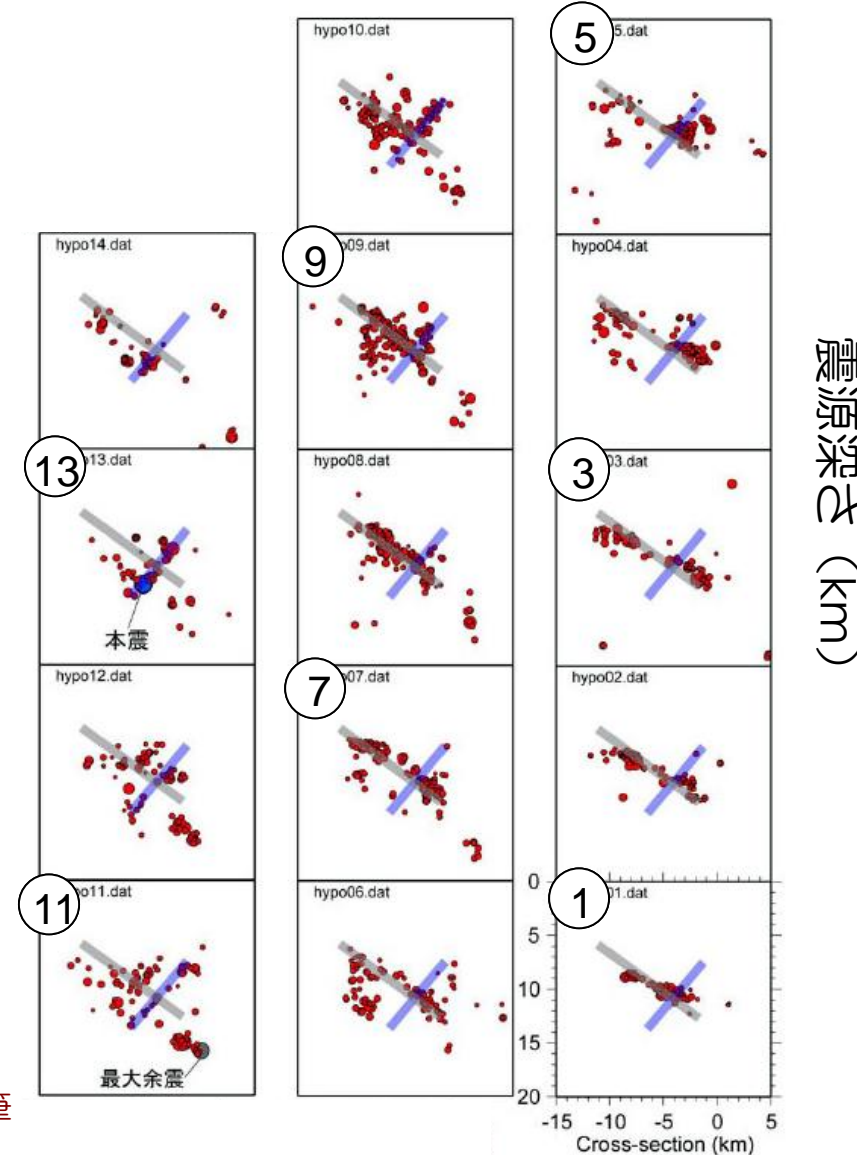
※東京大学地震研究所資料（平成20年1月11日 地震調査研究推進本部）より抜粋・一部加筆

# 新潟県中越沖地震の精密余震分布

## 新潟県中越沖地震の精密余震分布

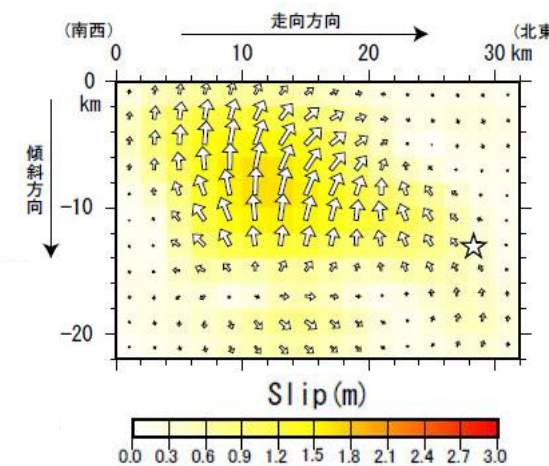
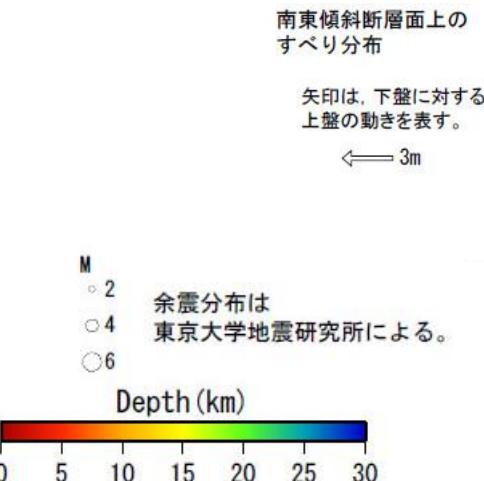
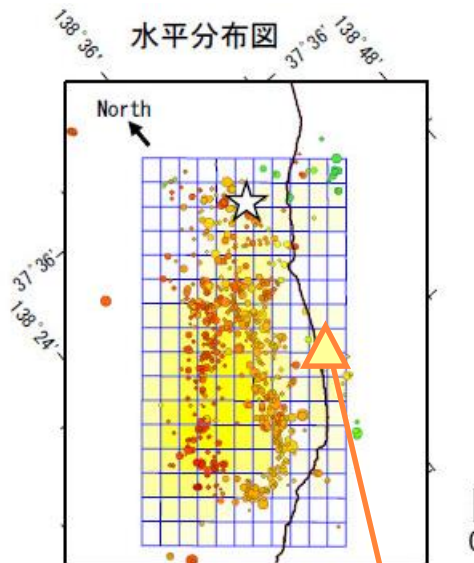


※東京大学地震研究所資料  
(平成20年1月11日地震調査研究推進本部)に加筆

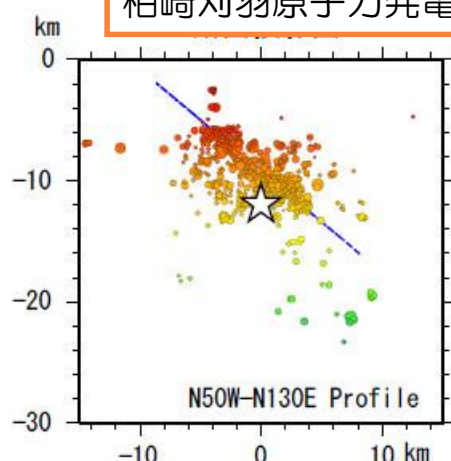


■ 全体的な傾向として、余震は南東傾斜の断層面上で発生している。

# 地殻変動データから求められた断層すべりモデル①



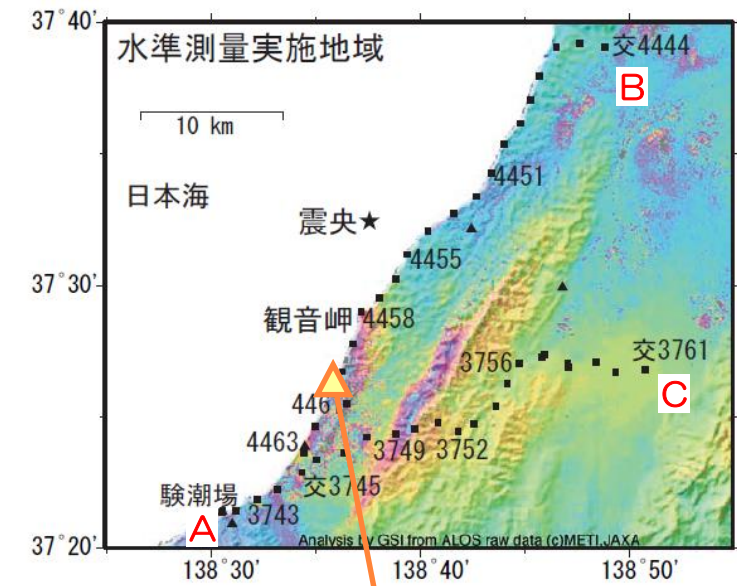
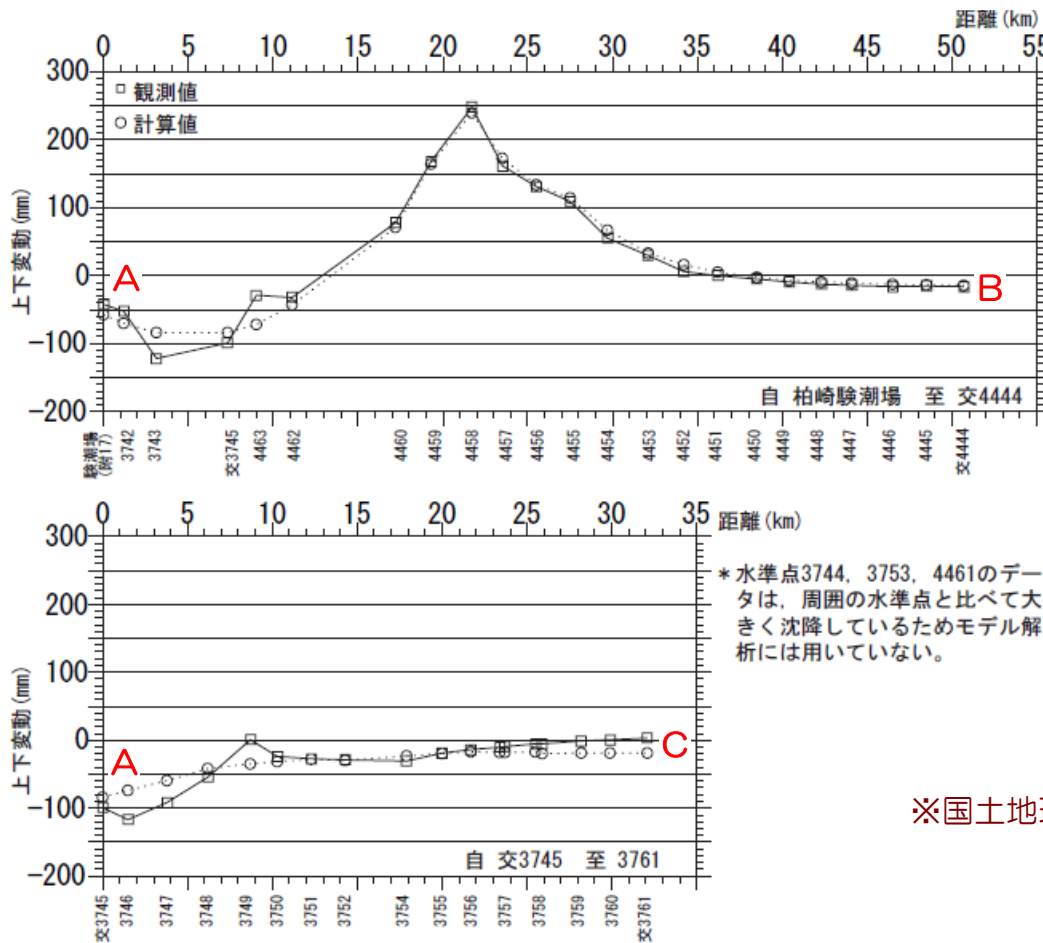
※国土地理院資料（平成20年1月11日地震調査研究推進本部）より抜粋・一部加筆



- 余震分布に基づき仮定された南東傾斜の断層面について、地殻変動データ（GPS, SAR, 水準測量）の解析結果から断層面上のすべり分布を推定している。
- 比較的単純なすべり分布により、地殻変動データがよく説明される。

# 地殻変動データから求められた断層すべりモデル②

## 地殻変動データの解析例（水準測量）



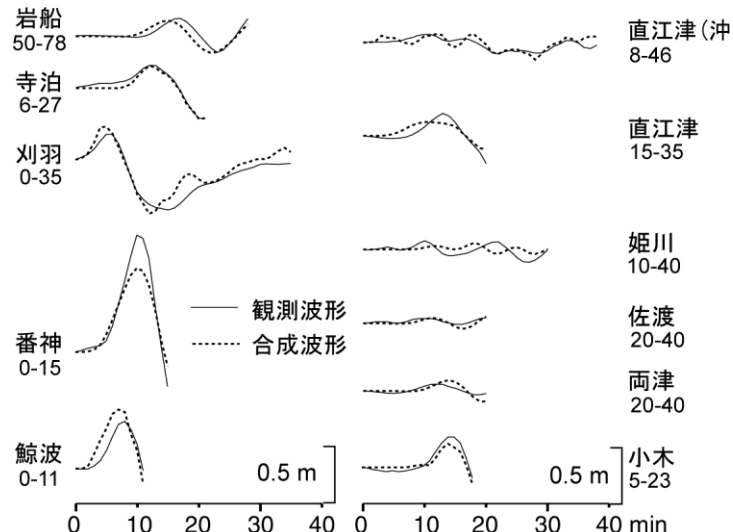
柏崎刈羽原子力発電所

※国土地理院資料（平成20年1月11日公表）より抜粋・一部加筆

- 南東傾斜の断層面により、水準測量の観測データがよく説明される。

# 津波データにより推定される海底上下変動と断層モデル①

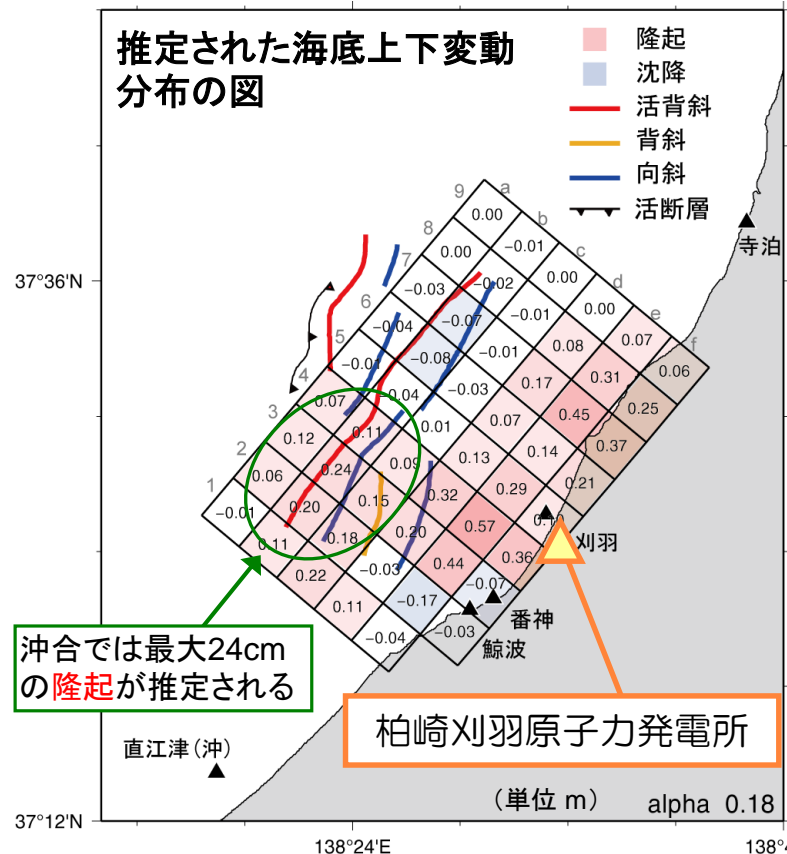
## 津波波形インバージョン解析により推定された海底上下変動



観測津波波形と計算波形の比較

インバージョン解析により、観測された津波波形を再現するような海底上下変動分布が推定された

### 推定された海底上下変動分布の図



岡村他(2008)による背斜軸・向斜軸・活断層の位置と海底上下変動の比較

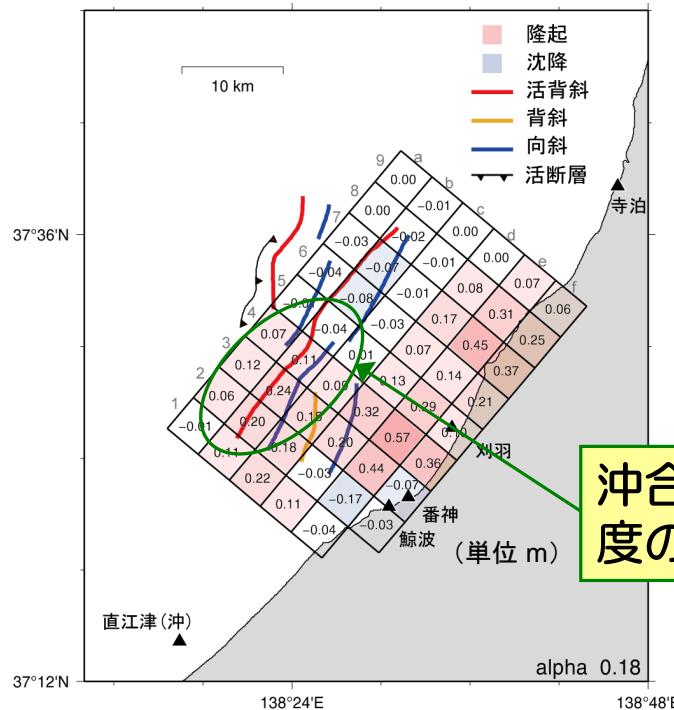
- 沖合の堆積層の背斜構造に沿って、海底が20cm程度盛り上がったことが推定される。

※津波観測記録による波源調査グループ資料（平成20年6月9日地震調査研究推進本部）に加筆

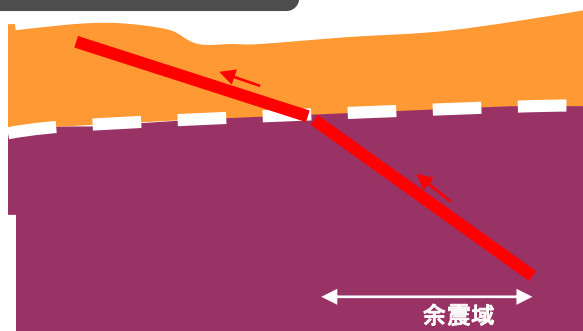
# 津波データにより推定される海底上下変動と断層モデル②

## 海底上下変動分布を説明する断層モデル

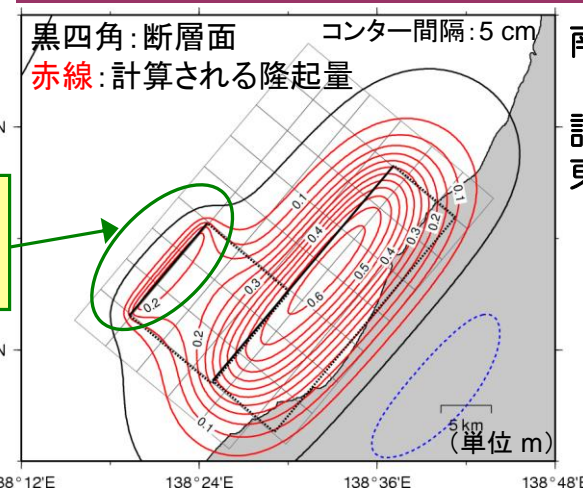
### 津波モデル



### 南東傾斜の断層モデル



断層モデルの概念図  
(断面図)



南側・海側の隆起  
(20cm程度)を  
説明するための南東傾斜断層モデル

- 津波データにより推定される海底上下変動と南東傾斜の断層面から推定される海底上下変動は調和的である。

※津波観測記録による波源調査グループ資料（平成20年6月9日地震調査研究推進本部）に加筆

# 新潟県中越沖地震とF-B断層との関係

- F-B断層は、海上音波探査結果に基づき南東傾斜の逆断層と評価している。
- 断層面は、海域・陸域臨時地震観測網に基づく新潟県中越沖地震の精密余震分布（7月16日10時13分～8月29日）とよく対応している。

## 凡例

### 東京電力㈱

- 逆断層
- 伏在逆断層
- 活背斜
- 活撓曲

「佐渡島北方海底地質図」(1995)  
「佐渡島南方海底地質図」(1994)  
「能登半島東方海底地質図」(2002)

- 逆断層(破線は伏在)
- 正断層(破線は伏在)
- 未区分断層  
(ケバは落下側、破線は伏在)

### 新編 日本の活断層(1991)

- 活断層(比高200m以上)
- 活断層(比高200m以下)
- 推定断層(比高200m以上)
- 推定断層(比高200m以下)

### 「日本周辺海域の第四紀地質構造図」(2001)

- 逆断層

### 新潟県中越沖地震の震央分布

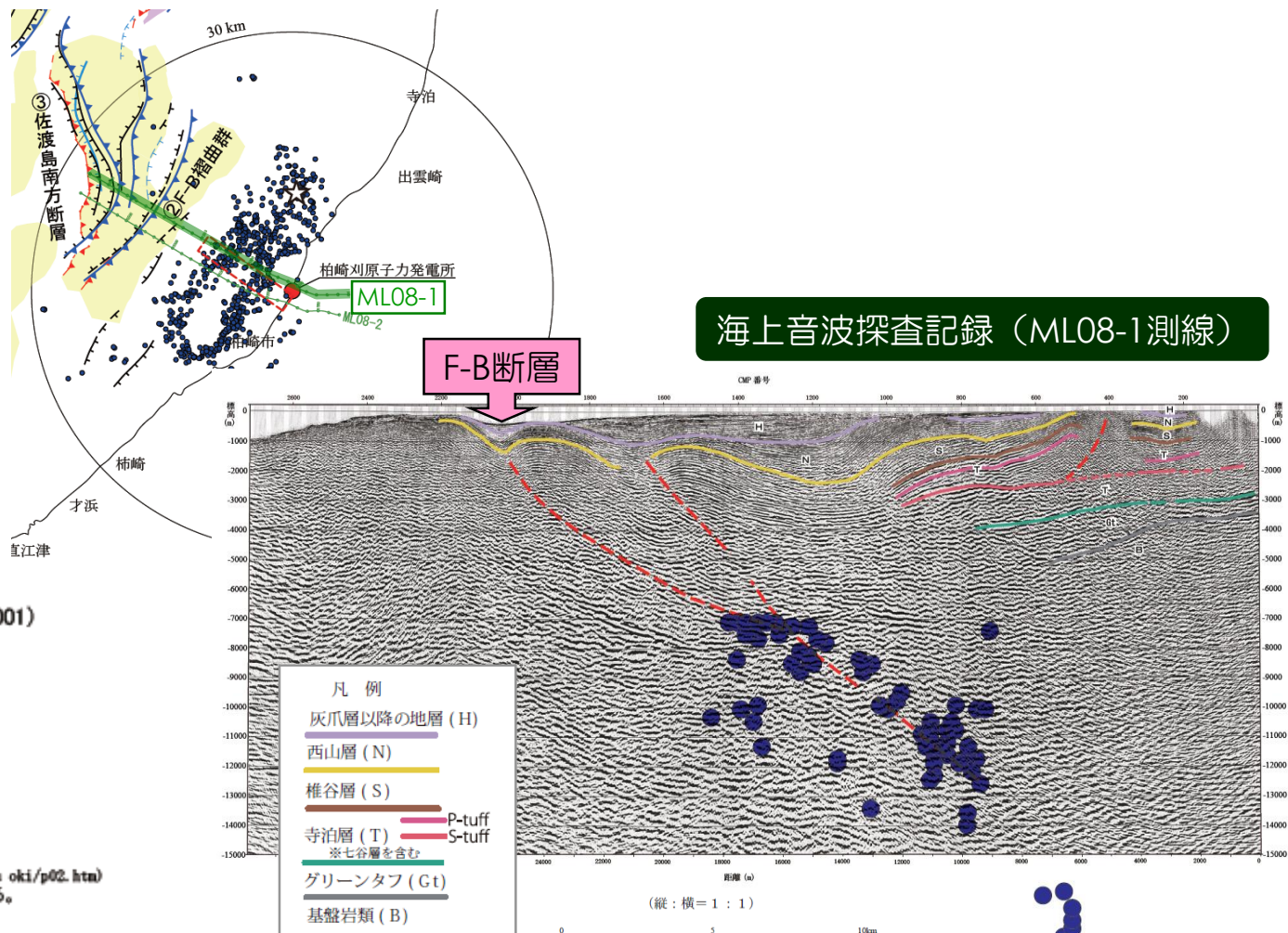
- 本震 (M6.8)

- 余震

- 反射断面にプロットした範囲

※震央分布は、東京大学地震研究所の資料

([http://www.jishin.go.jp/main/chousa/08jan\\_chuetsu\\_oki/p02.htm](http://www.jishin.go.jp/main/chousa/08jan_chuetsu_oki/p02.htm))  
を東京電力㈱が独自にデジタル化したものである。



# 各研究機関による震源断層評価の変遷①

著者等	検討に用いたデータ	震源断層の傾斜
Kato et al. (2008)	余震分布	[主]南東傾斜 + [副]北西傾斜
Shinohara et al. (2008)	余震分布	南東傾斜
Mori (2008)	余震分布	南東傾斜
Yukutake et al. (2008)	余震分布	[主]南東傾斜 + [副]北西傾斜
倉橋ほか (2008)	強震波形	南東傾斜
芝 (2008)	強震波形	南東傾斜
Aoi et al. (2008)	強震波形	南東傾斜 or 北西傾斜
Nozu (2008)	強震波形	南東傾斜
山本・竹中 (2009)	強震波形	[南西部]南東傾斜 + [北東部]北西傾斜
川辺・釜江 (2010)	強震波形	南東傾斜
Miyake et al. (2010)	強震波形, 余震分布, 構造探査結果	南東傾斜

- 余震分布や強震波形データに基づいた検討では、余震分布の精密化に伴い震源断層を南東傾斜とする評価が多く、地震調査研究推進本部の評価と大きく矛盾する知見はない。

## 各研究機関による震源断層評価の変遷②

著者等	検討に用いたデータ	震源断層の傾斜
国土地理院 (2007)	地殻変動	[南西部]北西傾斜 + [北東部]北西傾斜
Ohta et al. (2008)	地殻変動, 余震分布	[南西部]南東傾斜 + [北東部]北西傾斜
Aoki et al. (2008)	地殻変動, 余震分布	[南西部]南東傾斜 + [北東部]北西傾斜
Nishimura et al. (2008)	地殻変動, 余震分布	[南西部]南東傾斜 + [北東部]北西傾斜
Ozawa (2008)	地殻変動, 余震分布	[南西部]南東傾斜 + [北東部]南東傾斜
国土地理院 (2008)	地殻変動, 余震分布	[主]南東傾斜 + [副]北西傾斜
今井ほか (2008)	津波	南東傾斜
Tabuchi et al. (2008)	余震分布, 地殻変動, 津波	[南西部]南東傾斜 + [北東部]南東傾斜
Nishimura et al. (2010)	地殻変動, 余震分布	[主]南東傾斜 + [副]北西傾斜
西村 (2010)	地殻変動, 余震分布	[主]南東傾斜 + [副]北西傾斜
産業技術総合研究所 (2010)	余震分布, 津波, 地殻変動	南東傾斜

- 地殻変動データに基づいた検討では、地殻変動データのみから震源断層の傾斜方向を推定することは難しかったが、精密な余震分布が得られた以降は、南東傾斜を主断層とする評価が多く、地震調査研究推進本部の評価と大きく矛盾する知見はない。

## 小 括

- 地震調査研究推進本部によると、新潟県中越沖地震は大局的には南東傾斜の逆断層運動により発生し、余震分布から推定される南東傾斜の断層面の浅部延長は、既知の活断層に連続している可能性があると評価されている。
- 当社が海上音波探査結果に基づき評価したF－B断層は、南東傾斜の逆断層であり、新潟県中越沖地震の精密余震分布とよく対応している。
- なお、各研究機関による研究においても、南東傾斜の震源断層モデルにより各種観測データを説明できるとされており、地震調査研究推進本部の評価と大きく矛盾しない。
- 以上のことから、F－B断層は新潟県中越沖地震の震源断層と考えられる。

---

1. 新潟県中越沖地震の震源像

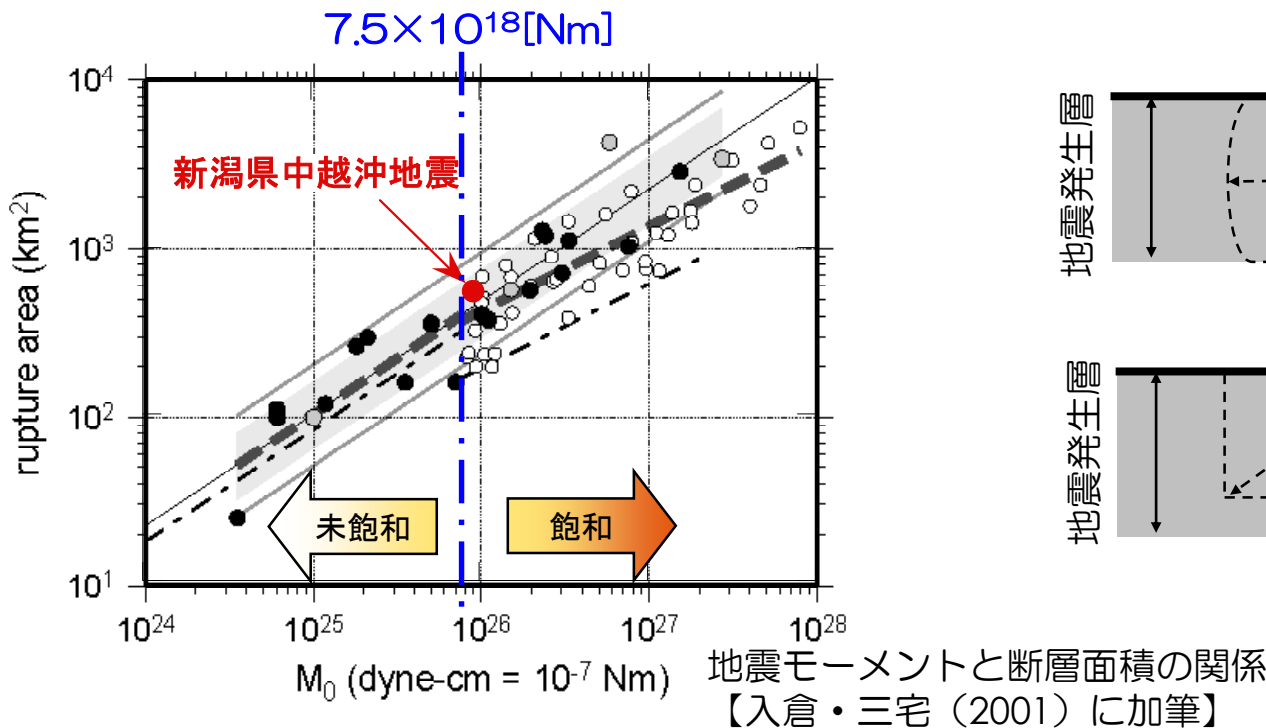
2. F-B断層の震源特性

3. F-B断層の再来期間

4. まとめ

# 既存のスケーリング則との比較①（内陸地震の $M_0$ とSの関係）

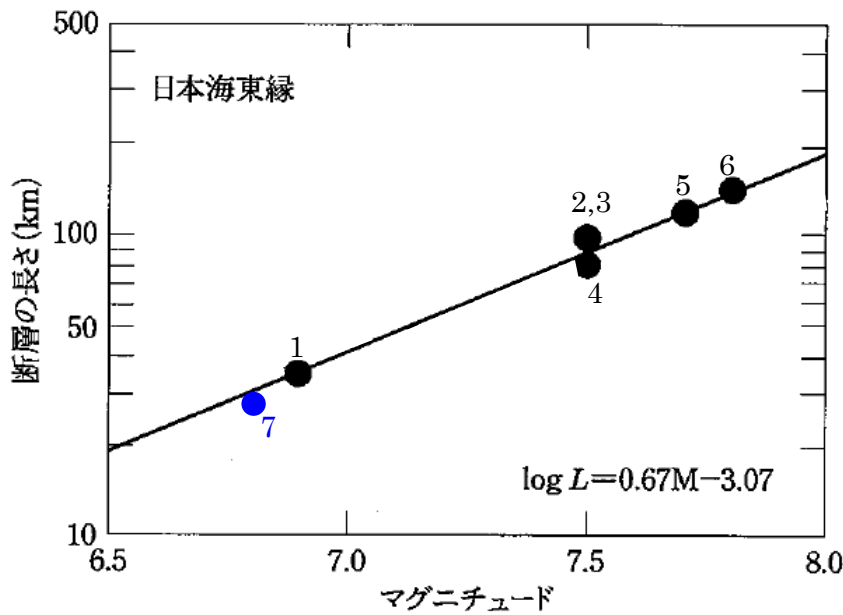
- 新潟県中越沖地震について、内陸地震に関する既往のスケーリング則（地震モーメント $M_0$ と震源断層の面積Sの関係）との比較を行った。
- 新潟県中越沖地震の「 $M_0 = 9.3 \times 10^{18} \text{Nm}$  (F-net) , 面積 :  $540 \text{km}^2$ 」は既存のスケーリングと整合しており、平均的な地震であると言える。



- また、 $M_0$ と $S$ の関係は断層幅が飽和することで変化することが知られており、その目安は地震モーメント $7.5 \times 10^{18} \text{Nm}$ であるとされている。新潟県中越沖地震の $M_0$ からは概ね断層幅が飽和した地震であると考えられる。

## 既存のスケーリング則との比較②（日本海東縁での $M_j$ とLの関係）

- 「日本海東縁の活断層と地震テクトニクス」（大竹・他, 2002）に示される、気象庁マグニチュード $M_j$ と断層長さLの関係に着目した。
- 日本海東縁部で発生した地震のマグニチュード $M_j$ と断層長さの間には相関が認められ、新潟県中越沖地震の「断層長さ27km： $M_j$  6.8」は、既往地震の傾向とよく整合している。



● $M_j$ と断層長さの関係は既往の日本海東縁部での関係と整合していることから、新潟県中越沖地震はこの地域で断層長さから想定される規模の地震であったと考えられる。

※「日本海東縁の活断層と地震テクトニクス」p.182 図12.4  
に加筆・修正

# 大竹・他(2002)の元となったデータ及び適用性について

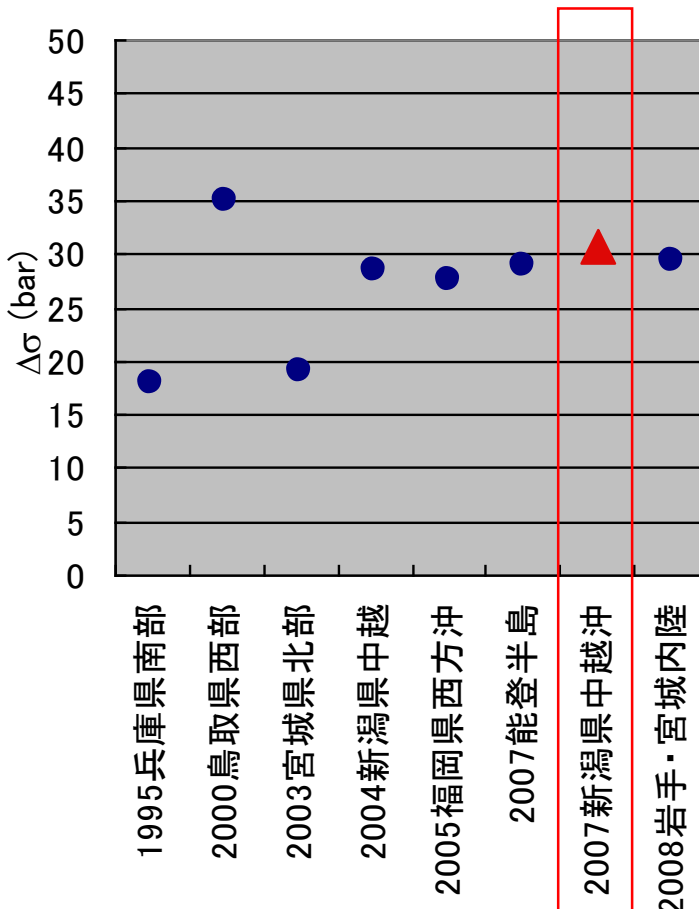
- 大竹・他では、以下の文献による断層長を採用しており、いずれも観測データを再現可能な解析結果をもとに検討が行われている。

No.	地震	出典	使用した主なデータ	評価概要
1	1828年越後三条(M6.9)	宇佐美(1996)	震度分布	震度分布をもとに断層長を推定
2	1833年庄内沖(M7.5)	相田(1989)	津波波高	津波波高分布の再現計算
3	1940年積丹半島沖(M7.5)	Satake(1986)	津波記録	津波記録(時刻、波形)の再現計算。余震域なども考慮
4	1964年新潟(M7.5)	Abe(1975)	余震分布、地殻変動	余震域から断層長を設定。地殻変動の再現により断層幅を含めた断層サイズを決定
5	1983年日本海中部(M7.7)	Sato(1985)	余震分布、強震波形	余震域から概略の断層面を設定。強震波形により詳細な震源過程を推定。津波記録も参照
6	1993年北海道南西沖(M7.8)	Tanioka et al. (1995)	遠地地震波形、余震分布、地殻変動、津波波形	遠地地震波形・余震分布による断層設定。地殻変動・津波波形によるすべり分布推定

- 大竹・他の回帰式はM6.9～7.8の地震をデータとしており、新潟県中越沖地震 [M6.8] に対しても適用可能と考えられる。

# 日本で発生した地震の平均応力降下量との比較

- 新潟県中越沖地震の平均応力降下量を、近年日本周辺で発生した内陸地震での値と比較した。
- 新潟県中越沖地震の震源解析結果から計算される値（約31bar）は他の内陸地震の値とほぼ同じである。



地震	M <sub>w</sub>	M <sub>0</sub> (Nm)	L (km)	W (km)	S (km <sup>2</sup> )	Δσ <sup>*1</sup> (bar)	出典
1995兵庫県南部	6.8	2.20E+19	60	16	960	18	Yoshida et al.(1996)
2000鳥取県西部	6.8	2.10E+19	34	18	598	35	堀川・他(2001)
2003宮城県北部	6.1	1.90E+18	18	10	180	19	Hikima&Koketsu(2004)
2004新潟県中越	6.6	8.80E+18	24	16	384	28	Hikima&Koketsu(2005)
2005福岡県西方沖	6.6	1.15E+19	26	18	468	28	Asano&Iwata(2006)
2007能登半島	6.6	1.10E+19	22	20	440	29	Horikawa(2008)
2007新潟県中越沖	6.6	1.04E+19	24	17	408	31	芝(2008)
2008岩手・宮城内陸	6.9	2.50E+19	42	18	756	29	引間・他(2008)

計算条件を揃えるため、それぞれの地震のパラメータは強震波形インバージョンにより推定された値を使用した。

\*1 : Δσ (応力降下量) は円形クラックの式により、SとM<sub>0</sub>から計算した。

$$\Delta\sigma = \frac{7}{16} \times \frac{M_0}{R^3}, \quad S = \pi R^2$$

## 小 括

- 新潟県中越沖地震の地震規模と震源の大きさとの関係 ( $M_0$  と Sとの関係,  $M_j$  と Lとの関係) は、既往地震の一般的な傾向とよく整合しており、特殊なものではない。またその地震規模 ( $M_0$ ) から、新潟県中越沖地震は概ね断層幅が飽和した地震であると考えられる。
- 新潟県中越沖地震の平均応力降下量は、国内の内陸地殻内地震の平均的な値とほぼ同じである。

- 
1. 新潟県中越沖地震の震源像
  2. F—B断層の震源特性
  3. F—B断層の再来期間
  4. まとめ

# 一般的な活断層の再来期間

- トレンチ調査等によって求められた活断層の再来期間の平均値は、A級活断層で約2,700年（最も短いもので約700年），B級活断層で約9,200年，C級活断層で約17,000年となっており、原子力発電所の供用期間よりも長い。

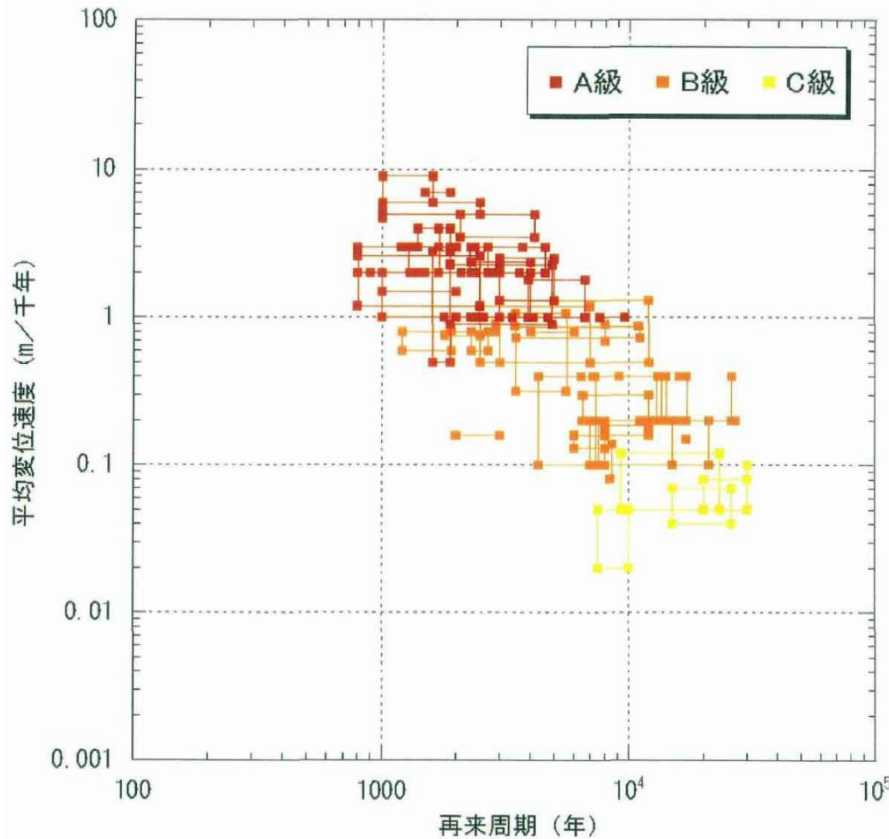


図-1 平均変位速度と再来期間の関係（トレンチ調査結果による）

表-2 再来周期の統計処理結果(対数正規分布※1)

活動度（級）	標本数	平均値（年）	標準偏差 $\sigma$
A	39	2,708	1.612
B	39	9,262	2.065
C	7	17,068	1.780
A～C	85	6,825	2.418

50000年は何  $\sigma$  か(A～C級)→ 2.255

※1 対数正規分布の平均値及び標準偏差は常数に直したものである。

したがって、 $N\sigma$  値は、平均値  $\times$  (標準偏差)  $N$  で計算される。

※2 統計処理にあたっては、再来周期の下限値及び上限値が明らかなデータのみを用いた。

# <参考>トレント調査結果 (1)

表-1 トレント調査結果

[歴史地震名] 断層名(地区)	長さ(km)	断層型	活動度	平均変位速度 (m/1000年)	最新活動年	再来期間(年)	文献
[濃尾地震]	根尾谷断層帯	30	左ずれ	A	2	1891年	2100-3600
	梅原断層帯	36	左・上下	B,C	-	1891年	14000-15000
	湯見断層	16	左・上下	A,B	-	1891年	2200-2400
[陸羽地震]	様手盆地東縁断層帯	26	逆	A	1	1896年	3400
	真尾山地東縁断層	14-21	逆	B	-	1896年	6300-31000
[北丹後地震]	山田地震断層	5	左ずれ	B	0.16	1927年	4500以上
	郷村地震断層	15	左ずれ	B	0.5以下	1927年	6000以上
[北伊豆地震]	北伊豆断層帯	32	左ずれ	A	2	1930年	1400-1500
[鳥取地震]	鹿野地震断層	8	右ずれ	C	-	1943年	4000-8000
[三河地震]	深溝地震断層	17	逆	C	0.05-0.08	1945年	20000-30000
[兵庫県南部地震]	六甲淡路島断層帯	23	右・逆	B	水平0.7, 上下0.3	1995年	1800-2500
	淡路島西岸	20	逆	A	7	2100年前-1000年前	1500-1900
	吉士川断層系	6	正	A	2.2-6.0	3000年前	7000以下
	大宮断層	18	逆	A	2.0-2.3	4500年前-2900年前	3000-4000
系魚川-静岡構造線活断層系	芝川断層	-	-	-	-	-	静岡県(1997)
	北部セグメント	45	逆	A	3	1500年前-1000年前	2000
	中部	牛伏寺断層	7	左ずれ	A	4.7-5.7	1483年前-1061年前
	赤木山断層	2	逆	B	-	12890年前-6480年前	16000-22000
	岡谷断層群	12	鉛直	A	-	1700年前	3500
	金無山断層群北部	9.3	左ずれ	A	1.3-2.5	1630年前-1010年前	3000-5000
	益無山断層群南部	-	左ずれ	A	1.0-2.0	1900年前-1500年前	1000-4000
	白岡断層	10	左・逆	A	1.0-1.8	2720年前-1695年前	3930-6665
	下円井断層	12	逆	B	0.5-1.2	2400年前-1400年前	2500-7000
	市之瀬断層群	8	逆	A	3.5-5	1275年前-665年前	2085-4145
中央構造線	紀淡海峡~鳴門海峡	43-51	右・上下	B	上下0.8	13100年前-2600年前	4000-6000
	讃岐山脈南縁~	-	-	-	-	-	地盤調査委員会(2003-2)
	石鎚山脈北縁東部	130	右ずれ	A	6-9	16世紀	1000-1600
	石鎚山脈北縁西部~伊予灘	130	右ずれ	A	-	16世紀	1000-2900
	岡村断層	30	右ずれ	A	5-6	16世紀	1000-2500
養老-桑名-四日市断層帯	別府・万年山断層帯	60	逆	A	3-4	13世紀-16世紀	1400-1900
	別府湾一日出生断層帯	43	正	A	3	1596年	1300-1700
大分平野-湯布院断層帯	東部	27	正	A	2.4	2200年前-1400年前	2300-3000
	西部	14	正	-	-	2000年前-18世紀初頭(2回)	700-1700
	崩平山-龜石山断層帯	34	正	B	0.1-0.4	13世紀以降	4300-7300
阿寺断層帯	北部	17	左ずれ	A	-	3400年前-3000年前	1800-2500
	南部	15	左ずれ	A	2.0-4.0	1586年	1700
長岡平野西縁断層帯	83	逆	A	3	13世紀以降	1200-3700	
跡澤川断層	69	右ずれ	A	2.0-3.0	1658年	2300-2700	
神崎・国府津-松田断層帯	25+	逆	A	2.0-3.0	12世紀初頭-14世紀前半	800-1300	
庄内平野東縁断層帯	38	逆	A	2-3	3000年前-18世紀	2400-4600	
長野盆地西縁断層帯	58	逆	A	1.2-2.6	1847年	800-2500	
荒舟断層	6	逆	B	-	1847年	2300	

原子力安全基準・指針専門部会 耐震指針検討分科会 第19回会合（平成17年5月27日）震分第19-6号（震震W第4-4号改）より抜粋 (<http://www.nsc.go.jp/senmon/shidai/taisinbun/taisinbun019/siryo6.pdf>)

# <参考>トレーンチ調査結果 (2)

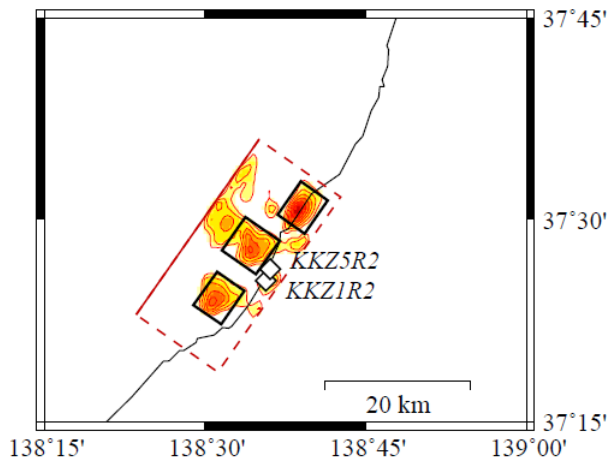
六甲・淡路島断層帯	71	右	A	2	16世紀	900-2800	地震調査委員会 (2004-1)
六甲山地南線～淡路島東岸					6世紀～7世紀	1900-4900	
三浦半島北断層群 衣笠・北武	144	右ずれ	A	0.9-2.3	2300年前～1900年前	1600-1900	地震調査委員会 (2002)
武山断層	111	右ずれ	A	0.5-2.8	6000年前以降	3000	地震調査委員会 (2002)
山形盆地断層帯	80	逆	A	1-2	1596年	1000-2000	地震調査委員会 (2001)
有馬・高根鶴道線活断層系	55	右ずれ	A	1.5	868年	1300-2300	地震調査委員会 (2003-12)
山崎断層帯 北西部	51	左・上下	A	水平1.0, 上下0.1	14世紀～17世紀	2600-4100	地震調査委員会 (2004-5)
閑谷断層	38	逆	A	1	2740年前～2670年前	2000-4000	伊藤ほか (1982)
平山断層	9	逆	A	1.0	1611年	7600-9600	地震調査委員会 (2005-2)
今津盆地西縁断層帯	34	逆	A	1	2400年前～11世紀	2500-4700	地震調査委員会 (2005-3)
雲仙新層群 南西部	38	正	A	1	4800年前～3世紀	1800-5900	地震調査委員会 (2005-1)
境岬・神谷断層帯	27	左ずれ	A, B	-	11世紀～12世紀	5000-7100	地震調査委員会 (2005-3)
牛首断層帯	54	右ずれ	A, B	-	1694年	1900-2900	地震調査委員会 (2005-4)
能代断層	224	逆	B	0.8-0.9	6500年前～340年前	3000-12000	地震調査委員会 (2002)
伊那谷断層帯	49	逆	B	0.5-1.3	2200年前～3世紀	8000	地震調査委員会 (2005-4)
福島盆地西縁断層帯	57	逆	B	0.7-0.9	3200年前～9世紀	1200-1900	地震調査委員会 (2005-3)
邑知源断層帯	44	逆	B	0.6-0.8	17世紀	2300-2700	地震調査委員会 (2004-1)
柳ヶ瀬・閉ヶ原断層帯主部 北部	48	逆	B	0.6-0.8	13世紀頃	3500-5600	地震調査委員会 (2005-2)
京都西山断層帯	42	左・逆	B	水平0.3-1, 上下0.1-0.4	2400年前～2世紀	11000-27000	地震調査委員会 (2002)
布田川・日奈久断層帯北東部 中部	27	右ずれ	B	水平0.2	1200年前～1500年前	3500-11000	地震調査委員会 (2002)
木曾山脉西縁断層帯 北部 南部	40	逆・右	B	0.4	6500年前～3800年前	6400-9100	地震調査委員会 (2004-11)
砺波平野断層帯 西部	26	逆	B	0.3-0.4以上	6900年前～2700年前	4500-24000	地震調査委員会 (2004-11)
伊勢原断層	21	逆	B	0.3-0.4	5世紀～18世紀初頭	5400以上	地震調査委員会 (2004-3)
喜那山～猿投山北断層帯	51	逆・右	B	0.2-0.4	7600年前～5400年前	7200-14000	地震調査委員会 (2004-10)
北上低地西縁断層帯	62	逆	B	0.2-0.4	4500年前	16000-26000	地震調査委員会 (2001)
函館平野西縁断層帯	24	逆	B	0.2-0.4	14000年前以降	13000-17000	地震調査委員会 (2001)
鈴鹿東縁断層帯	34-47	逆	B	0.2-0.3	3500年前～2300年前	6500-12000	地震調査委員会 (2004-4)
水鏡断層帯	26	正	B	0.2	679年	14000	地震調査委員会 (2004-6)
双葉断層	16-40	左・上下	B	水平0.15, 上下0.05-0.1	2400年前～1800年前	8000-12000	地震調査委員会 (2005-4)
野幌・大麻鳴曲帯	4	逆	B	0.16	2500年前以降	2000-3000	北海道 (2002)
当別断層	20	逆	B	0.1-0.2	11000年前～2200年前	7500-15000	地震調査委員会 (2003-11)
十勝平野断層帯 光地園断層	26	逆	B	0.1-0.2	21000年前以降に2回	7000-21000	地震調査委員会 (2005-4)
雪良野断層帯 御判断層	7-5	逆	B	0.13-0.16	1800年前～1500年前	6000-8000	北海道 (2004)
右引山地東縁断層帯 西部	33	逆	B	0.15	28000年前～400年前	17000	地震調査委員会 (2005-3)
出水断層帯	20	正・右	B	0.1-0.2	7300年前～2400年前	8000	地震調査委員会 (2004-10)
長町一利行原断層帯	17	逆	B	-	2400年前以降	3100-9010	栗田 (2004)
花折断層帯 中部	20	右・上下	B	-	2800年前～6世紀	4200-6500	地震調査委員会 (2003-3)
駿河断層	10	右ずれ	B	-	6000年前以降3回	2000-3000以下	金田ほか (2004)
猪之川断層	20	左ずれ	B	-	2000年前～1000年前	700-2900	吉岡ほか (2003)
庄川断層帯	67	左ずれ	B	-	11世紀～16世紀	3600-6900	地震調査委員会 (2004-9)
六甲断層	10	右	B	-	1596年	6900-14500	兵庫県 (2003)
淡河断層	10.5	逆	B	-	40000年前～15000年前	15000	兵庫県 (2004)
若国断層帯	44	右ずれ	B	-	11000年前～10000年前	9000-18000	地震調査委員会 (2004-2)
小倉東断層	17	右ずれ	B	0.08-0.14	2200年前	8500	北九州市 (1997)
雨荷・金戸断層系	13	逆	C	0.05-0.12	8500年前～3600年前	9250-23200	鳥取県 (1999)
長尾断層	24	逆	C	0.05-0.1	9世紀～16世紀	30000	地震調査委員会 (2003-9)
豊國断層系	18.5	左ずれ	C	0.04-0.07	15000年前～5000年前	15000-26000	福岡県 (1997)
西山断層系	29	左ずれ	C	0.02-0.05	6300年前～2000年前	7500-10000	宮崎ほか (1999)
茂能祐延断層	23	右ずれ	C	-	3100年前以降	13000	AKAI・TOMOほか (2000)

原子力安全基準・指針専門部会 耐震指針検討分科会 第19回会合（平成17年5月27日）震分第19-6号（震震W第4-4号改）  
より抜粋 (<http://www.nsc.go.jp/senmon/shidai/taisinbun/taisinbun019/siryo6.pdf>)

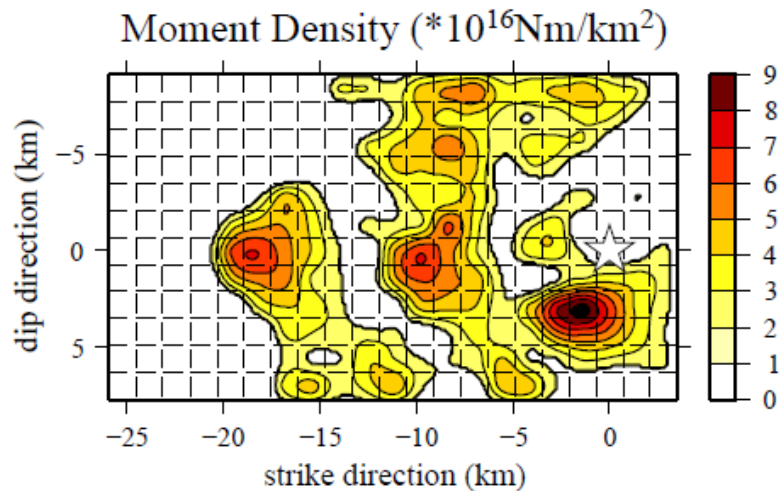
# 新潟県中越沖地震相当の地震の再来期間に関する検討①

- 新潟県中越沖地震相当の地震が再び発生するまでの期間の目安を把握するため、強震動モデル（芝，2008）に示される緒元等に基づき、概略検討した。

強震動モデル



地震モーメント分布

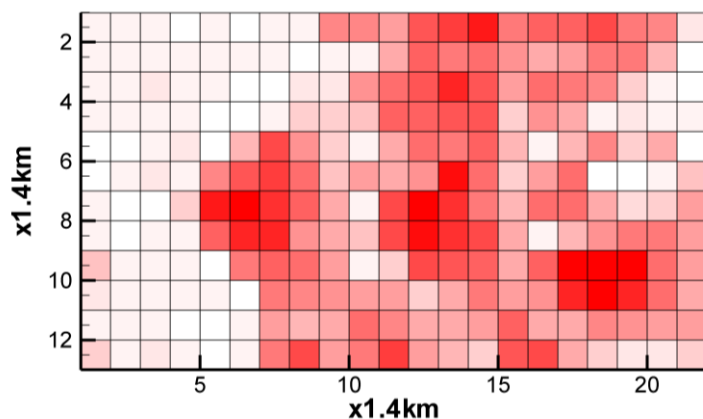


- 再来期間は、以下の2ケースについて計算した。
  - <ケース1>平均変位速度に基づく再来期間：  
「平均すべり量」 ÷ 「海上音波探査記録に基づく平均変位速度（垂直変位量に断層面の傾斜を考慮した換算値）」
  - <ケース2>平均ひずみ速度に基づく再来期間：  
「応力降下量」 ÷ 「GPS連続観測記録に基づく平均ひずみ速度から算出される蓄積せん断応力」

# 新潟県中越沖地震相当の地震の再来期間に関する検討②

- 強震動モデル（芝, 2008）に基づく平均すべり量は約0.66m, 応力降下量は約31barとそれぞれ算定される。

すべり分布



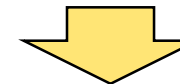
平均すべり量：約0.66m



ケース1の検討に使用

応力降下量

$$\Delta\sigma = \frac{7}{16} \times \frac{M_0}{R^3} \doteq 30.7 \text{bar}$$

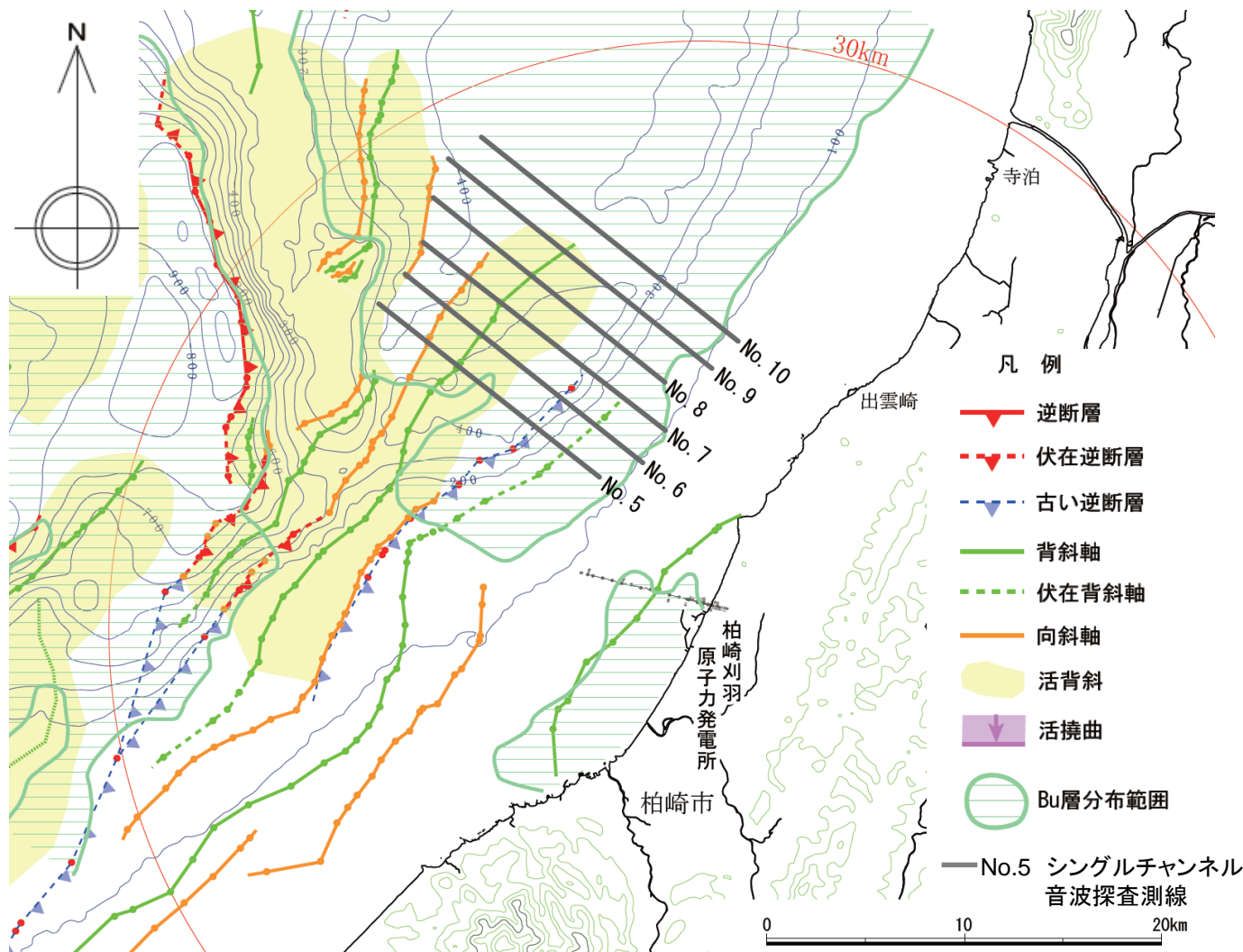


ケース2の検討に使用

項目	設定値
地震モーメント $M_0$	$1.04 \times 10^{19} \text{Nm}$
特性化震源モデルの断層面積 $S$	$408 \text{km}^2$
円形断層を仮定したときの断層半径 $R$	11.4km

# 新潟県中越沖地震相当の地震の再来期間に関する検討③

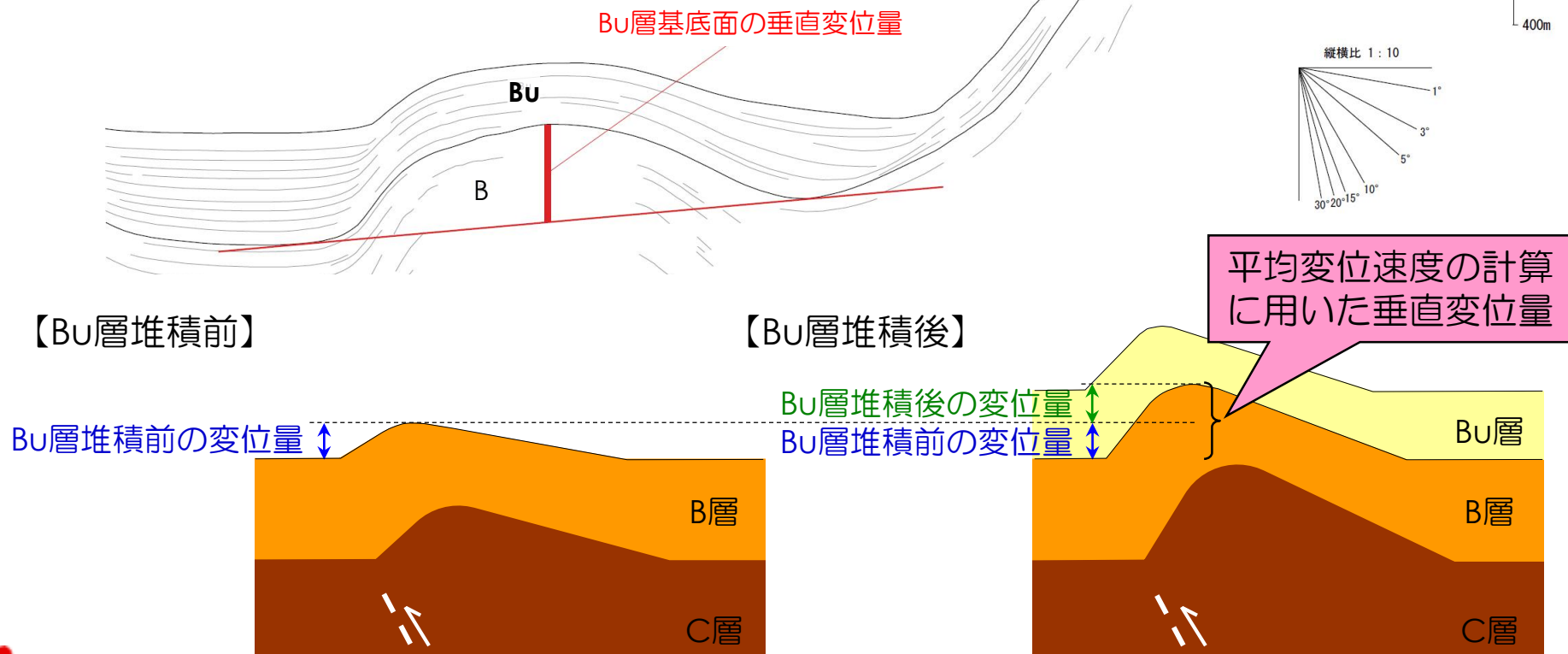
- 平均変位速度の算定には、新潟県中越沖地震の震源域付近において、Bu層が確認されている測線の海上音波探査記録（シングルチャンネル方式）を用いた。



# 新潟県中越沖地震相当の地震の再来期間に関する検討④

- 平均変位速度は、Bu層基底面の垂直変位量と同層堆積期間（約20万年）から算出すると、約0.4m/千年（換算値：約0.7m/千年）となる。
- なお、垂直変位量にはBu層堆積前の垂直変位量も含まれており、安全側（平均変位速度が大きくなる）評価になっていると考えられる。

平均変位速度の算出例（No.7測線）



# 新潟県中越沖地震相当の地震の再来期間に関する検討⑤

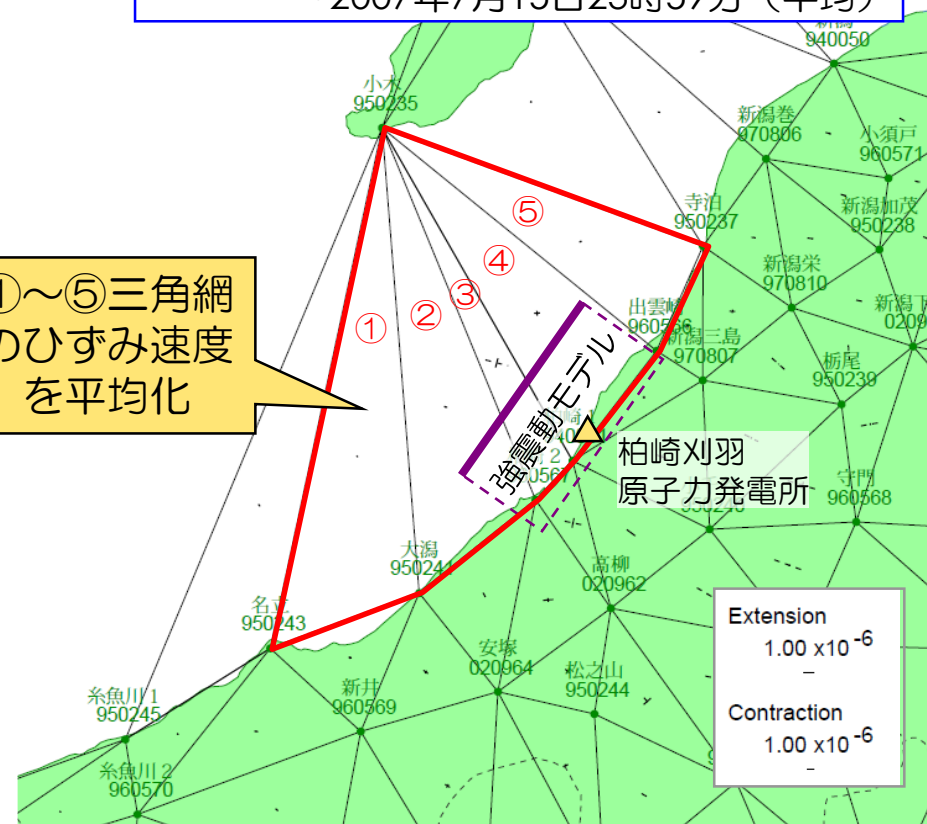
- 平均ひずみ速度は、新潟県中越沖地震前の震源域周辺海域（赤枠の範囲）におけるGPS三角網の連続観測記録を用いて算出した。
- この平均ひずみ速度を用いると、強震動モデルの走向・傾斜角（ともに $35^\circ$ ）及びすべり角 $90^\circ$ （逆断層を仮定）に対応する1年間あたりに蓄積されるせん断応力は、約 $0.04\text{bar}/\text{年}$ と算出される。

## 地盤条件

	設定値	備 考
弾性係数	$8.0 \times 10^5 \text{ bar}$	上部地殻の一般的な値
ポアソン比	0.25	

## 平均ひずみ速度の算出範囲及び主ひずみ分布

基準値：2004年10月24日00時00分  
～2004年11月2日23時59分（平均）  
比較値：2007年7月6日00時00分  
～2007年7月15日23時59分（平均）



# 新潟県中越沖地震相当の地震の再来期間に関する検討⑥

- 新潟県中越沖地震相当の地震の再来期間は、ケース1が約940年、ケース2が770年であり、地震調査研究推進本部（2012）による日本海東縁部の地震の平均発生間隔と調和的な結果となっている。

No.	項目	再来期間
1	平均すべり量：約0.66m	平均変位速度： 約0.7m/千年 約940年
2	応力降下量：約31bar	蓄積せん断応力： 約0.04bar/年 約770年

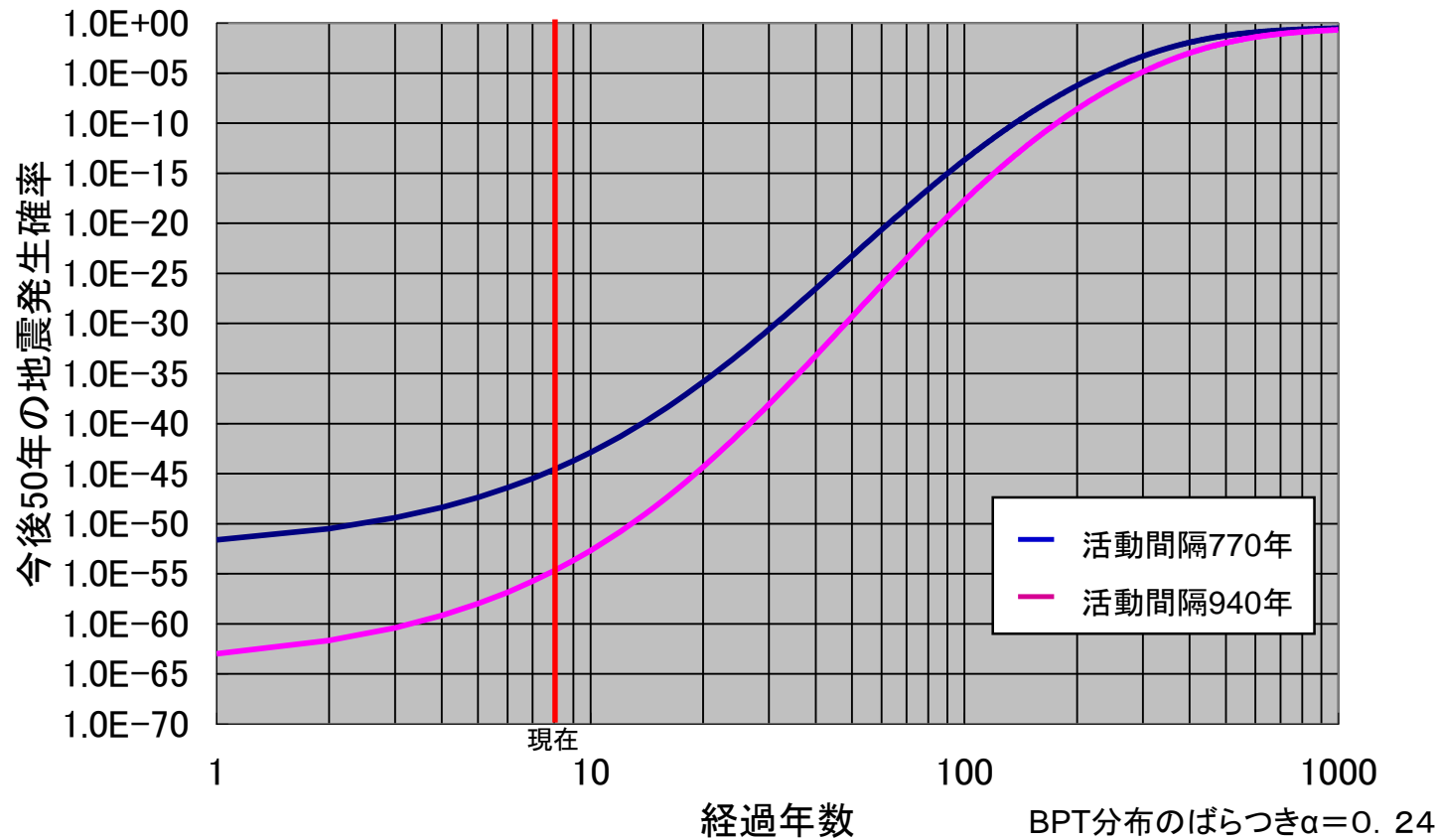
地震調査研究推進本部（2012）  
による日本海東縁部の地震の  
平均発生間隔

日本海東縁部の地震	領域または地震名	長期評価で予想した 地震規模 (マグニチュード)	地震発生確率 <sup>(注1)</sup>			地震後 経過率 <sup>(注2)</sup>	平均発生間隔 <sup>(注1) (上段)</sup>
			10年以内	30年以内	50年以内		
日本海東縁部の地震	北海道北西沖の地震	7.8程度	0.002%～ 0.04%	0.006%～ 0.1%	0.01%～ 0.2%	0.54	3900年程度 約2100年前
	北海道西方沖の地震	7.5前後	ほぼ0%	ほぼ0%	ほぼ0%	0.02～0.05	1400～3900年程度 71.4年前
	北海道南西沖の地震	7.8前後	ほぼ0%	ほぼ0%	ほぼ0%	0.01～0.04	500～1400年程度 18.5年前
	青森県西方沖の地震	7.7前後	ほぼ0%	ほぼ0%	ほぼ0%	0.02～0.06	500～1400年程度 28.6年前
	秋田県沖の地震	7.5程度	1%程度以下	3%程度以下	5%程度以下	—	1000年程度以上 —
	山形県沖の地震	7.7前後	ほぼ0%	ほぼ0%	ほぼ0%	0.18以下	1000年程度以上 178.1年前
	新潟県北部沖の地震	7.5前後	ほぼ0%	ほぼ0%	ほぼ0%	0.05以下	1000年程度以上 47.5年前
	佐渡島北方沖の地震	7.8程度	1%～2%	3%～6%	5%～10%	—	500～1000年程度 —

# 新潟県中越沖地震相当の地震の再来期間に関する検討⑦

- 前述の再来期間に基づき、今後50年間のF-B断層による地震発生確率（※）を求める極めて小さな値となる。

(※) 地震調査研究推進本部の示す方法による



## 小 括

- 一般的な活断層の再来期間は、短いものでも約700年であり、原子力発電所の供用期間よりも長い。
- F—B断層が、再び応力を蓄積して新潟県中越沖地震相当の地震を発生させるためには、海上音波探査記録に基づく平均変位速度やGPS連続観測記録に基づく平均ひずみ速度から算出すると、1000年弱の期間を要すると考えられる。
- 上記結果に基づき、今後50年間のF—B断層による地震発生確率（※）を算出するとほぼゼロである。

(※) 地震調査研究推進本部の示す方法による

## まとめ

- 新潟県中越沖地震の震源断層は、地震調査研究推進本部の評価や当社の地質調査結果から、F－B断層に対応しており、震源像は明らかになっていると考えられる。
- 新潟県中越沖地震は、既往のスケーリング則などと調和的であることから、F－B断層は内陸地殻内地震の震源として特殊なものではないと考えられる。
- 地震調査研究推進本部の示す方法によって、今後50年間のF－B断層による地震発生確率を算出するとほぼゼロである。